

九州大学 正会員 ○今井富士夫 九州大学 正会員 太田 俊昭
九州大学 学生員 田島 孝敏

1. まえがき 著者らは、これまで、曲線 I 柄の降伏関数として、曲げと曲げねじりおよび St.Venant のねじりモーメントから成るものを誘導し、これを用いて並列曲線 I 柄橋の塑性解析を行うことにより、終局荷重や塑性挙動に対して横構の影響が無視できないことを明らかにしてきた¹⁾。そこで、ここでは、主柄間隔や中心角あるいは横柄や横構の剛性などが並列曲線 I 柄橋の崩壊形式や終局荷重に及ぼす影響について体系的な考察を試みるものとする。

2. 解析モデルとパラメータ 解析モデルとしては、図-1に示すような横構を有する3主柄の並列曲線 I 柄橋を選び、荷重は橋中央部に偏心集中荷重を考える。また、曲線 I 柄の曲げ終局強度は、腹板の局部的な座屈に関わりなく、それ応力を考慮した全塑性モーメントによって規定できることが中井らによって明らかにされており²⁾、直線柄についても建築学会の塑性設計指針より同様なことがうかがえる。このことから、主柄と横柄の幅厚比としては、フランジでは塑性設計、腹板では弾性設計のものをそれぞれ使用することにする。なお、横構については、曲げばかりに置換し解析を行うものとする^{1), 3)}。

並列曲線 I 柄橋の塑性挙動に影響を与える因子としては、部材相互の剛性比や完全塑性モーメント比と構造形状（中心角 Φ および支間長 L に対する主柄間距離 a の比）が考えられる。そこで、ここでは、支間長は $L = 20m$ 、主柄は H_g （柄高）= 1.7m、 H_g/B （フランジ幅）= 3.5、幅厚比は $H_g/t_w = 130$ 、 $B/t_r = 17$ （鋼種：SM50, t : 板厚、添字 w , r は腹板、フランジ）と一定にし、解析パラメータは、 Φ と a 、そして主柄に対する横柄と横構の曲げ剛性比 e 、塑性曲げモーメント比 m とする。なお、横柄のねじりに関する諸量比については曲げに関する値を準用する。

ところで、 e と m には相関性があり、著者らは、文献4)にてこの関係について算定している。すなわち、横柄あるいは横構の m/e は、主柄に対するこれらの降伏応力度の比を σ とすると、横柄では $1.1\sigma < m_r/e_r < 1.4\sigma$ 、横構では $0.9\sigma < m_b/e_b < 1.1\sigma$ で与えられる。このことから、横柄は主柄と同一材種を使用するものとすれば、 $m_r = e_r$ と仮定した解は安全側となるので、本解析では $m_r = e_r$ とする。また、横構の材種は、通常、主柄と同等があるいはそれ以下のものが使用されるので、 $m_b \leq e_b$ とする。

3. 解析結果および考察

3-1 崩壊形式 図-2は、並列曲線 I 柄橋の代表的な崩壊形式を示したものである。図から、これらの崩壊形式は、4つのMode(A,B,C,D)に大別できる。なお、図中の●は塑性ヒンジ発生点、○は塑性ヒンジの後に $M_w = 0$ となった点である。／は、横構崩壊を示している。なお Mode A,Bについては、2主柄の曲線箱柄橋の解析例より、全主柄中央部に塑性ヒンジが発生した場合を崩壊としたが、横構を持つ曲線 I 柄橋では、箱柄橋とは異なり全主柄の中央部に塑性ヒンジが

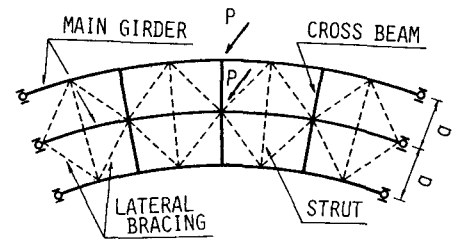


図-1 解析モデル

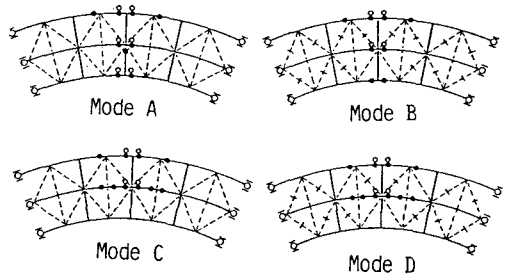


図-2 崩壊形式

発生しても、横構によって幾分かの余剰荷重を保持する場合もある。

3-2 各形式の発生限界剛度 これまでの研究から⁴⁾、並列曲線桁橋の各崩壊形式の終局荷重や終局変位を比較すると、終局荷重については Mode A \geq Mode B $>$ Mode C, D なる関係となり、一方、終局変位については Mode A $<$ Mode B $<$ Mode C, D となることが明らかにされている。特に、Mode A の終局荷重は、床組の剛性には関わりなく、ほぼ一定の値となる。このことは、並列曲線 I 桁橋の塑性設計を行う場合には極力 Mode A となるように設計諸元を選択するのが望ましいことを示唆している。

そこで、本節では、各崩壊形式の発生限界に対する横構剛性、中心角ならびに主桁間距離について検討するものである。なお、横構剛性はその曲げ格子剛度 Z を $Z = 5 \sim 10$ の範囲で解析した結果、本解に影響を与えるものでないことが判明した。そこで、以後の解析では $m_b = e_b = 0.3$ とする。

図-3は、 $m_b = e_b$ とした場合の中心角、主桁間距離に対する各崩壊形式の発生限界の横構必要剛度について図示したものである。図より、中心角の増加に伴い、Mode A、Mode B の発生に必要な横構の剛性は増加している。一方、主桁間距離についてみれば、Mode B では、 $a \leq 3m$ 、Mode A では、 $a \approx 3m$ で横構の必要剛性は、最小となっている。これらのこととは、L \leq 20 m の曲線橋では、主桁間隔は 3 m 程度が最適であることを示すものである。

図-4は、横構の材種が、主桁のそれと同等あるいはそれ以下だと仮定した場合の、Mode A、Mode B を呈するに必要な横構剛性について図示したものである。ただし、図-3の結果から a は 3 m としている。

図は、 m_b / e_b の値が減少すれば、その必要剛性は増加するという当然の結果を与えている。一方、中心角についてみてみると、Mode B では、 Φ が増加するにつれ、必要剛性は増大する傾向にあるが、Mode A では、 $\Phi \leq 20^\circ$ で最小かつ一定となる。

3-3 Mode A の終局荷重 Mode A は、並列曲線 I 桁橋を準箱形单一曲線桁に置換した場合の曲げ崩壊に相当する崩壊形式だとみなしうる。そこで、ここでは、Mode A の終局荷重を準箱形曲線桁の終局荷重と比較し、その結果を図-5に示す。ただし、箱桁の降伏関数は曲げとねじりモーメントから成るものを使用した。図中、縦軸の P_c は並列曲線 I 桁橋の終局荷重を準箱形曲線桁の終局荷重で無次元化したものである。

図より、主桁間隔が増加すれば、 P_c は減少する傾向にあるが、中心角の変化に対してそれほど変動しないことが判る。特に、 $a \approx 3m$ では、その値は、ほぼ 1 となっている。

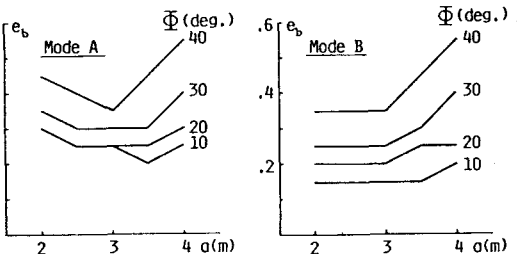


図-3 各崩壊形式の横構限界剛性 ($m_b = e_b$)

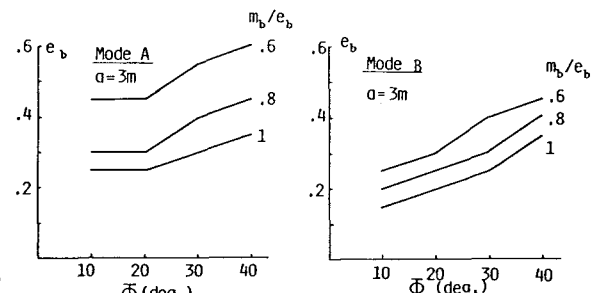


図-4 各崩壊形式の横構限界剛性 ($m_b \leq e_b$)

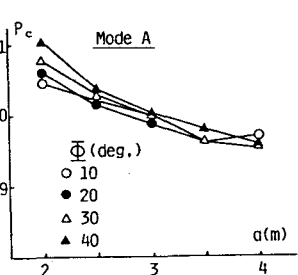


図-5 Mode A の終局荷重

〈参考文献〉 1)今井他；構造工学論文集、32A、1986. 2)中井他；土木学会論文集、第340号、1983.

3)尾下；土木学会論文集、第324号、1982. 4)今井他；土木学会西部支部大会、1986.